# 引增合一风机对炉膛及烟风系统的影响与对策

唐国瑞,尤良洲,李壮

(华电电力科学研究院有限公司,杭州 310030)

摘 要:随着烟气超低排放改造的开展,引增合一风机广泛应用于火力发电厂。基于 DL/T 5240—2010《火电发电厂燃 烧系统设计计算技术规程》,对某 330 MW 机组引增合一改造后的炉膛及烟风系统进行安全评估,发现高压头大流量风 机造成炉膛及烟风系统内爆的可能性增大。建议通过优化风机设计及选型、优化烟风系统阻力及完善热控压力保护系 统等方式,降低炉膛及烟风系统发生内爆的几率。

关键词:引增合一;锅炉防爆;烟风系统;防范对策

中图分类号:TM 621

文献标志码:B

文章编号:1674-1951(2018)08-0023-03

# 0 引言

面对日益严格的环保排放指标,火电机组不断 新增或改造环保设施以满足排放要求,但同时也造 成烟风系统阻力增加。炉膛及烟风系统防爆设计压 力的取值标准,对于编制火电厂设计中的锅炉技术 规范书、风机选型及烟风系统的设计都有直接影响, 而这些问题在国内外防爆规范中的规定及表述上均 存在着差异或疑点。本文基于 DL/T 5240-2010 《火电发电厂燃烧系统设计计算技术规程》,对某 330 MW 机组采用引风机与增压风机合并改造(引增 合一改造)后的锅炉炉膛及烟风进行安全评价。

## 工程概况

某电厂330 MW 机组配套"2+2"型电袋复合除 尘器,脱硫装置配置1层合金托盘、3层喷淋层。应 烟气超低排放改造方案要求,新增吸收塔喷淋层、余 热利用装置。原有风机系统压头无法满足改造后机 组运行要求,需进行引增合一改造,改造后拟定参数 见表1。

# 2 防爆安全性评估

#### 2.1 炉膛安全性分析

针对该330 MW 机组引增合一改造工程,拟定 引风机 BMCR 工况下全压为 9 230 Pa, TB 工况下全 压为11.076 kPa。初步核算引风机在环境温度下TB 点压头为 16.56 kPa(图 1 中点 1),大于引风机在环 境温度下TB工况点风安全下限值(炉膛瞬时承压 为 9.8 kPa, 对应的安全下限值为 - 14 kPa)。需结合

收稿日期:2018-04-27;修回日期:2018-07-10

基金项目:国家重点研发计划(2016YFC0203701-5)

引风机改诰参数

衣 1 引风机以迫参数			
单台风机参数	单位	ТВ	BMCR
风机运行点		1	2
风机入口容积流量	$m^3/s$	291.58	256.22
当地平均大气压	Pa	93 300	93 300
风机入口温度	${}^{\circ}\!\!\!\!\!\!\!\!\!\!\!\!\!\!\!\!\!\!\!\!\!\!\!\!\!\!\!\!\!\!\!\!\!\!$	165	155
风机入口标态密度	$kg/m^3$	1.33	1.33
风机入口密度	$kg/m^3$	0.7074	0.7334
风机入口压力	Pa	-6840	-5700
风机出口压力	Pa	4236	3 530
风机全压	Pa	11 076	9 2 3 0
压缩性修正系数		0.9573	0.9645
风机效率	%	85.2	86.6
风机轴功率	kW	3 665	2 660
风机工作转速	r/min	990	990
所需电机功率	kW	4 000	
电机额定转速	r/min	990	

注:TB 为风机性能考核点工况;BMCR 为锅炉最大连续蒸发

引风机在不利工况下压头等因素对炉膛进行安全 评估。

## 2.1.1 BMCR 失速点核算

按 BMCR 工况的开度失速点核算炉膛侧最大负 压,初步拟定性能曲线如图 1 所示。BMCR 工况叶 边开度为 $2^{\circ}$ ,沿等开度线的失速点 $S_0$ (图1中点3), 计算失速点环境温度下风机最大压头

 $p_{S_0} = Y_{\rho_0} \times \rho_{\rm B} \times (273 + t_{\rm b})/\varphi_{\rm B} \times (273 + t_{20}), (1)$ 式中: $Y_{00}$ 为 BMCR 沿等开度线失速点比压能,查图 1 取值  $14\,248\,\mathrm{N}\cdot\mathrm{m/kg}$ ;  $\rho_\mathrm{B}$  为 BMCR 工况风机入口密 度, 香表 1 取值 0.733 4 kg/m³, (图 1 中点 2);  $\varphi_R$  为 BMCR 工况风机压缩修正系数,查表1取值0.9645;  $t_b$  为引风机入口设计烟温,查表 1 取值 155  $\mathbb{C}$ ;  $t_{20}$ 为

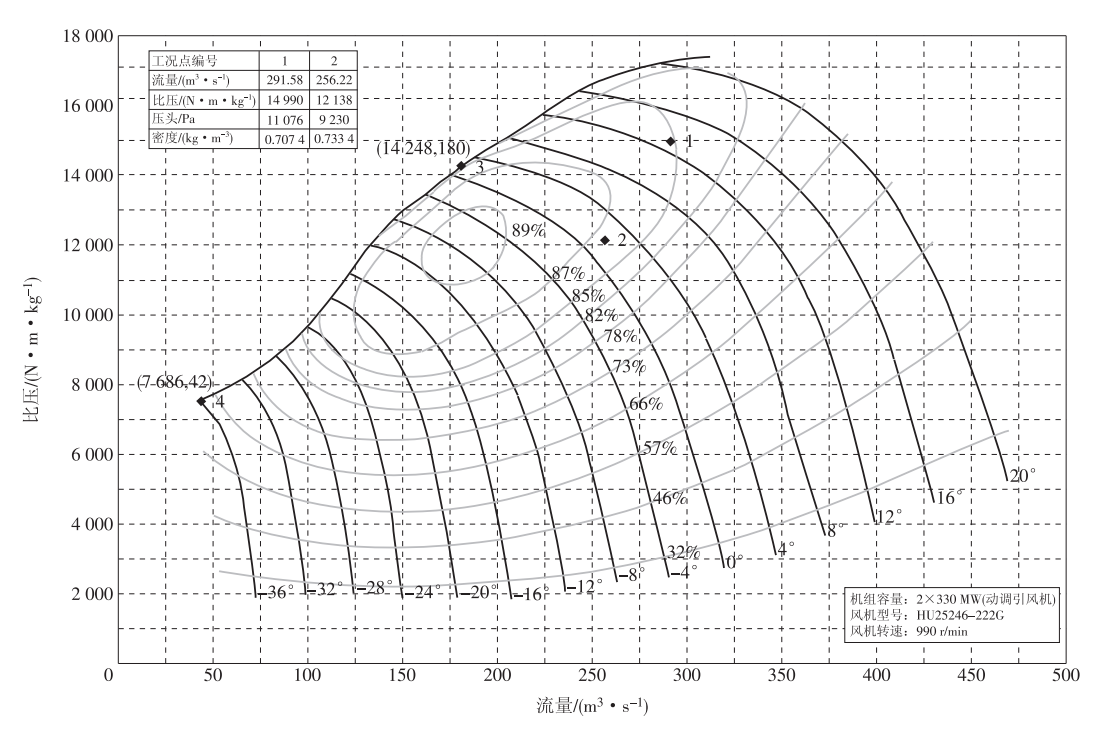


图 1 引风机性能曲线

环境温度,取 20  $^{\circ}$  。以上各值代入式(1), $p_{s_0}$  = 15 826 Pa。

 $S_0$  点系统阻力最小值

$$H_{\rm S_0} = p_{\rm BMCR} \times (Q_{\rm S_0}/Q_{\rm BMCR})^2$$
, (2)  
式中: $p_{\rm BMCR}$ 为合并后引风机 BMCR 工况压头,查表 1  
取值 9 230 Pa; $Q_{\rm S_0}$ 为 BMCR 工况沿等开度失速点流

取值 9 230 Pa;  $Q_{S_0}$ 为 BMCR 工况沿等开度失速点流量,查图 1(点3)取值 648 000 m³/h;  $Q_{BMCR}$ 为合并后引风机 BMCR 工况流量,查图 1(点2)取值922 392 m³/h。以上各值代入式(2),  $H_{S_0}$  = 4 555 Pa。

风机最大余压即炉膛最大负压

$$(-)p = p_{S_0} - H_{S_0}, (3)$$

计算可得( - )p = -11 271 Pa。

### 2.1.2 风机零流量点核算

按风机零流量点核算炉膛侧最大负压,即环境 温度下风机零流量点最大负压

$$p_0 = p_{S_0} \times \frac{Y_0}{Y_{\rho_0}} , \qquad (4)$$

式中: $Y_0$  为零流量失速点比压能(图1中点4),查图 2 取值 7586 N·m/kg。以上各值代入式(4), $p_0$  = 8426 Pa。

因零流量时系统流动阻力为零,炉膛最大负压等于引风机最大人口负压(引风机最大全压),即 $(-)p_{Fum} = -8426 \, Pa_{\circ}$ 

## 2.2 尾部烟道安全性分析

按照相关标准对锅炉尾部烟道设计压力进行核算。内爆工况下与稳压工况下引风机入口负压比值

$$K_{\rm t} = p_{\rm id,en}/p_{\rm id,en,o}, \qquad (5)$$

式中:Pid,en为内爆工况下引风机入口负压,根据其他

相关公式计算得 -9092 Pa;  $p_{id,en,o}$  为稳态工况下引风机人口负压, 查表 1 取值 -5700 Pa。各值代人式(5),  $K_i = 1.6$ 。

炉膛内爆时烟道设计负压的增压系数

$$K_{\rm f,des} = K_{\rm t} - p_{\rm Fds} \div p_{\rm id,en,o},$$
 (6)

式中: $p_{\text{Fds}}$ 为炉膛设计压力,原设计值 – 5 800 Pa。各值代入式(6), $K_{\text{f.des}}$  = 0.58。

基于上述增压系数及原设计压力值,得出炉膛 尾部烟道承压核算值,见表2。

表 2 炉膛尾部烟道承压核算值与原设计压力值

位置	原设计压 力/kPa	本次核算 压力/kPa
空预器出口至除尘器人口烟道	-4.7	-8.752
除尘器本体(瞬时承压)	9.8	14.08
除尘器出口至引风机入口烟道	-4.7	-9.092
		3.74
引风机后烟道	4.0	(不利工况,
		环境温度)

#### 2.3 评估小结

炉膛瞬间设计压力为±9.8 kPa,炉膛设计压力为±5.8 kPa,安全系数为1.72。经核算,引风机在环境温度下TB点压头为16.56 kPa,BMCR工况等开度失速点炉膛最大负压为-11.27 kPa,风机零流量点炉膛最大负压为-8.426 kPa。环境温度下,引风机选型点达-11.27 kPa,超过了安全要求。

现有的刚性梁设计无法保证锅炉相关受压部件 (如水冷壁、包墙、顶棚受热面管等)的安全性,同时 锅炉烟道等相关受压件也因负压超出原设计要求而 存在安全隐患。若考虑加固方案,将涉及炉膛和包墙几乎全部管刚性梁,加固范围过大、难度较高。

根据静电除尘器技术协议及电袋复合除尘器技术协议,除尘器本体设计压力为±8.7 kPa,瞬时承压为±9.8 kPa。设计值能够满足改造后日常的运行承压要求,但不满足 BMCR 工况引风机等开度失速点入口最大压力。除尘器本体防爆等级已处于较高水平,加固工程量巨大。

原锅炉尾部烟道防爆等级较低,不能满足内爆 工况下及稳压工况下系统承压要求,应通过加固或 更换原有烟道等方式提高烟道防爆等级,但防爆等 级不宜提高过多。

通过核算可知,对于炉膛及尾部烟道的防爆设计,稳态工况下设计压力应满足引风机压头的要求,但遇到各种恶劣工况(如炉膛熄火、送风机跳机、引风机挡板门关闭等)组合所发生的炉膛及烟道爆炸,防爆要求无法得到满足。

## 3 防范对策

## 3.1 引风机和增压风机并联方式

从降低炉膛内爆风险角度分析,分设引风机和增压风机的方案能够降低单台风机参数及规格,有利于降低风险及引风机及增压风机同时跳机的可能性。但该方案有3个前提条件:脱硫吸收塔或增压风机设有烟道旁路及相应保护装置<sup>[1-2]</sup>;热控设计中,在炉膛 MFT(主燃料跳闸)时增压风机联跳;当增压风机联跳,旁路烟道挡板打开,引风机仍有失速裕量克服烟气阻力<sup>[3]</sup>。分设引风机和增压风机可降低风机跳机所带来的冲击,前提条件许可,可优先考虑保留增压风机方案。

#### 3.2 风机型式

对比轴流式引风机及离心式引风机性能曲线特点:当风机流量减少接近零流量点时,离心式风机压头升高并逐渐达到最大值;轴流式风机因风机叶片角度不同而具有不同压头及流量,每一个角度都会产生一个最大压头<sup>[4]</sup>,压头增大到一定值,风机将发生喘振和失速,使风机压力迅速减小<sup>[5]</sup>。从降低锅炉内爆风险角度,采用轴流式风机更为有利<sup>[6]</sup>。

#### 3.3 优化系统阻力

烟风系统阻力高,必然需配备高压头大流量风机以克服系统阻力。但风机参数越高,异常工况下炉膛负压波动越大<sup>[7]</sup>。可通过优化烟风系统中单个设备阻力,减少烟道布置中的弯管,降低烟道阻力,从而降低整体系统阻力。该方法一定程度上可降低风险发生的概率<sup>[8-9]</sup>。

## 3.4 炉膛控制保护

一味追求设备加固无法解决内爆带来的风险<sup>[8]</sup>。通过寻求控制系统以及联锁保护系统限值之间的平衡,实现炉膛内爆发生可能性及危险性的最小化。许多研究表明<sup>[10]</sup>,根据炉膛结构、炉型、设计参数的不同,炉膛保护压力设计情况亦不同。多数设计值已考虑设置主燃料跳闸值和报警值,但未考虑风机联跳值或过长的延迟时间。当机组进行选择性催化还原(SCR)脱硝、烟气降温装置、脱硫系统串塔及湿式除尘器改造后,炉膛压力变化速率增大,应充分考虑风机至炉膛之间压力变化的延迟值,重新核算风机联跳的延时时间。

# 4 结论

单纯从增强炉膛结构及承受压力来解决锅炉内爆,从经济性角度来讲不可取。尤其在极端恶劣工况(如炉膛熄火、送风机跳机、引风机挡板门关闭等),即使炉膛结构合理,也难以保证万无一失。从预防锅炉内爆的角度出发,合理风机运行方式、降低系统阻力、优化风机选型及采用适合的炉膛保护控制系统,可减少了内爆产生的可能性。

## 参考文献:

- [1] 蔡晓云. 700 MW 机组引风机与增压风机改造方案分析与实施[J]. 东北电力技术, 2014, 35(9):41-44.
- [2]刘家钰.1000 MW 机组引风机与脱硫增压风机合并改造研究[J]. 热力发电, 2014,39(8):45-50.
- [3] 张建中. 锅炉炉膛及烟气系统防爆设计压力取值标准的分析[J]. 电力建设,2012,33(10):13-18.
- [4]赵振宙,金保升,熊源泉,等. FGD 系统对锅炉内爆的影响的研究[J]. 锅炉技术, 2007,38(4):50-52.
- [5]程星星,金保升,王赐鹏,等. 基于锅炉压力平衡理论的 炉膛内爆分析及防范[J]. 华东电力,2008,36(10):111-113.
- [6]汤晓舒,彭红文,谈琪英. 引进型煤粉锅炉炉膛防内爆设计压力研究[J]. 电力建设,2010,31(2):81-85.
- [7]赵振宙,金保升,熊源泉,等. 风机对"锅炉内爆"影响的基础理论分析[J]. 锅炉技术,2006,37(6);31-35,47.
- [8] 叶勇健. 引风机和增压风机二为一模式的探讨[J]. 华东电力,2007,35(11):107-109.
- [9]王贺岑,白红涛,徐明峰,等. 锅炉引风机选型改造的可靠性分析[J]. 中国电力,2010,43(1):51-55.
- [10]赵军,张晓波,叶云云,等. 燃煤机组炉膛压力越限联跳风机方案的应用研究[J]. 自动化博览,2016(1):90-93.

(本文责编:陆华)

#### 作者简介:

唐国瑞(1983—),男,内蒙古通辽人,工程师,从事火电厂化水及环保方面的研究(E-mail:120878611@qq.com)。